回 転 翼 の 振 動

Vibration of Turbine Moving Bucket Blade

小 堀 与 一* 大 森 基 次*
Yoichi Kobori Motoji Omori

内 容 梗 概

回転中の翼の固有振動数fが静止時の振動数 f_0 より高くなることは $f^2=f_0^2+B\left(\frac{\omega}{2\pi}\right)^2$ なる関係として知られている。遠心力係数Bは翼断面が均一か特定の場合のみ理論上既知であるが,大形タービン翼のような変断面翼では不明である。大形タービン翼の設計資料とするため,翼幅一定で,厚さがくさび状に先薄となった翼のBについて計算ならびに実験を行った。その結果,Bは計算実験ともに翼の厚さ比(先端厚/根本厚)が小になるとともに増す傾向があり,厚さ比が $0.5\sim1.0$ では実験値は計算値と大差がないが,厚さ比が $0.5\sim0$ となった場合は実験値は計算値より $8\sim22\%$ 大となることがわかった。

1. 緒 言

蒸気タービンブレード,電動機冷却ファン,送風機ファンなどの設計においては回転時の翼の固有振動数を回転数ならびに外部からの刺激たとえば回転にともなう蒸気,空気の脈動あるいは電気的機械的トルクの変動などのサイクルに一致させてはならない。そのためには回転時の翼の固有振動数がどうなるかをあらかじめ知っておく必要がある。周知のようにこの振動数fは遠心力の作用により静止時の振動数f。より高くなり,一般に遠心力係数をB,回転角速度を ω とすれば

$$f^2 {=} f_0^2 {+} \, B {\left(rac{oldsymbol{\omega}}{2\pi}
ight)}^2$$

なる形で表わされる $^{(1)(2)}$ 。Bは翼が取付けられてあるボスの半径と 翼長の比,振動形および翼の形状により異なった値をとる。Bの値は 均一断面および特定な変断面翼の場合は計算上既知であるが $^{(3)(4)}$, 大形タービン翼のような断面の場合は不明である。本論文では主と して大形タービン翼に対して設計資料をうるため翼断面を幅一定, 厚さ先薄状のくさび状とみなし,かかる翼のBについて計算と実験 から検討することにした。

2. 供試翼および実験方法(5)

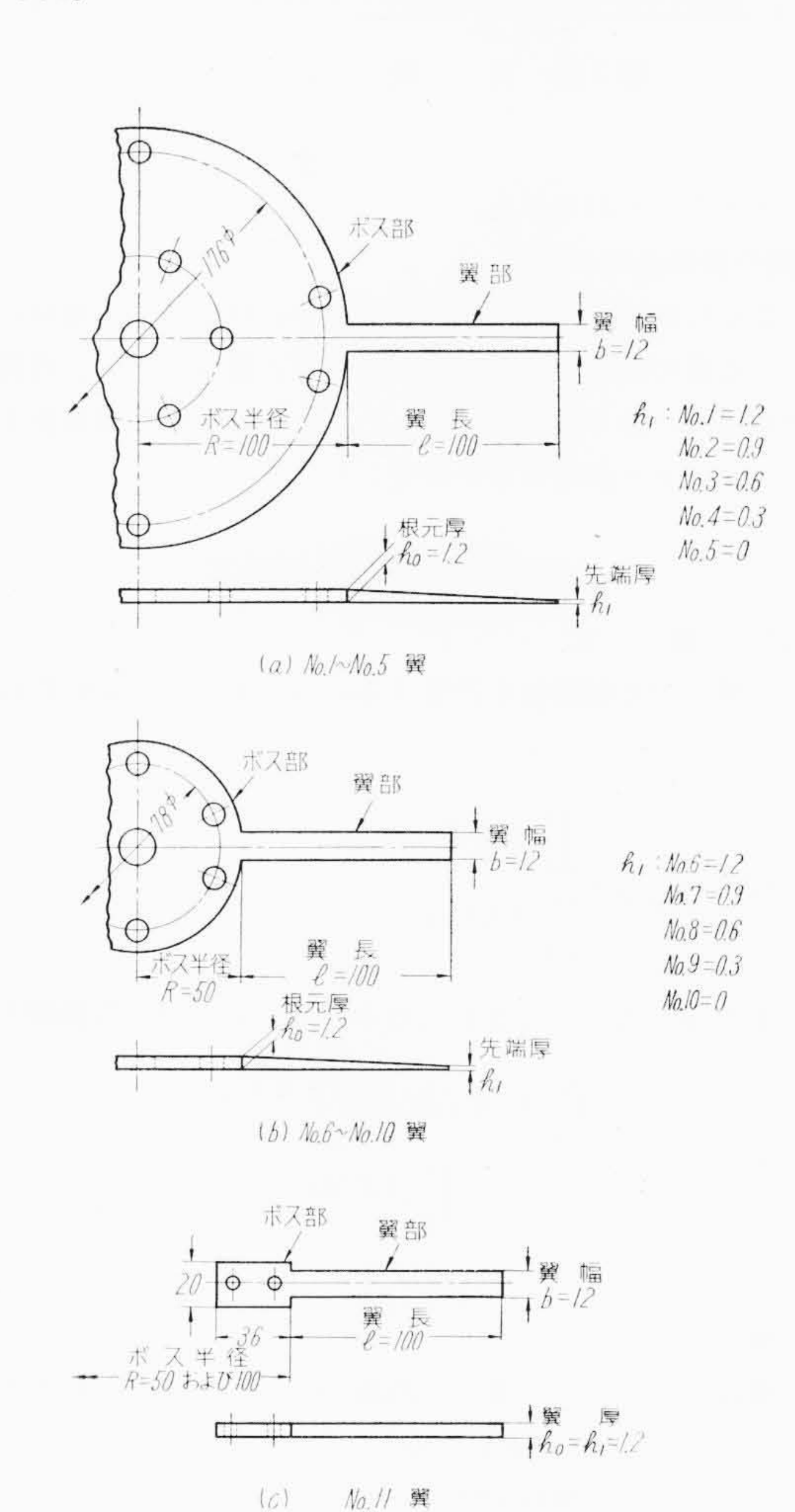
2.1 供 試 翼

第1図(a)~(c)に実験に供した翼の形状および寸法を示す。翼はボス部分を一体とし、最初2種(No.1 および No.6)を作り、必要な測定をなし、その測定が終了したのちそれぞれ翼部のみ先端方向にテーパ状に削り、所要の測定を逐次行った。そこで翼はテーパの大なるにしたがって番号を No.2~No.5 および No.7~No.10 を付してある。翼の製作にあたっては、翼厚を翼根元から先端まで 5 mm 間隔に翼幅の中央部、両端部の計60点についてマイクロメータで測定しつつ翼を仕上げることにより、No.5 および No.10 を除いて、厚さの誤差を±3%以下とすることができた。No.5 および No.10は先端厚0のくさび形翼であるが、先端厚は工作上0となしえず、それぞれ0.07および0.06mmとなっている。

以上の翼 (No. $1 \sim \text{No. } 10$) は回転面に平行に取付けられた場合 (取付角 $\theta=0$) であるが,Bは同一翼でも取付角が変わると変わる。この影響を検討するため,均一断面翼 No. 11 (翼部の寸法は No. 1 または No. 6 と同様) を用いて,取付角を変えた場合についても実験した。

2.2 回転中の振動数測定

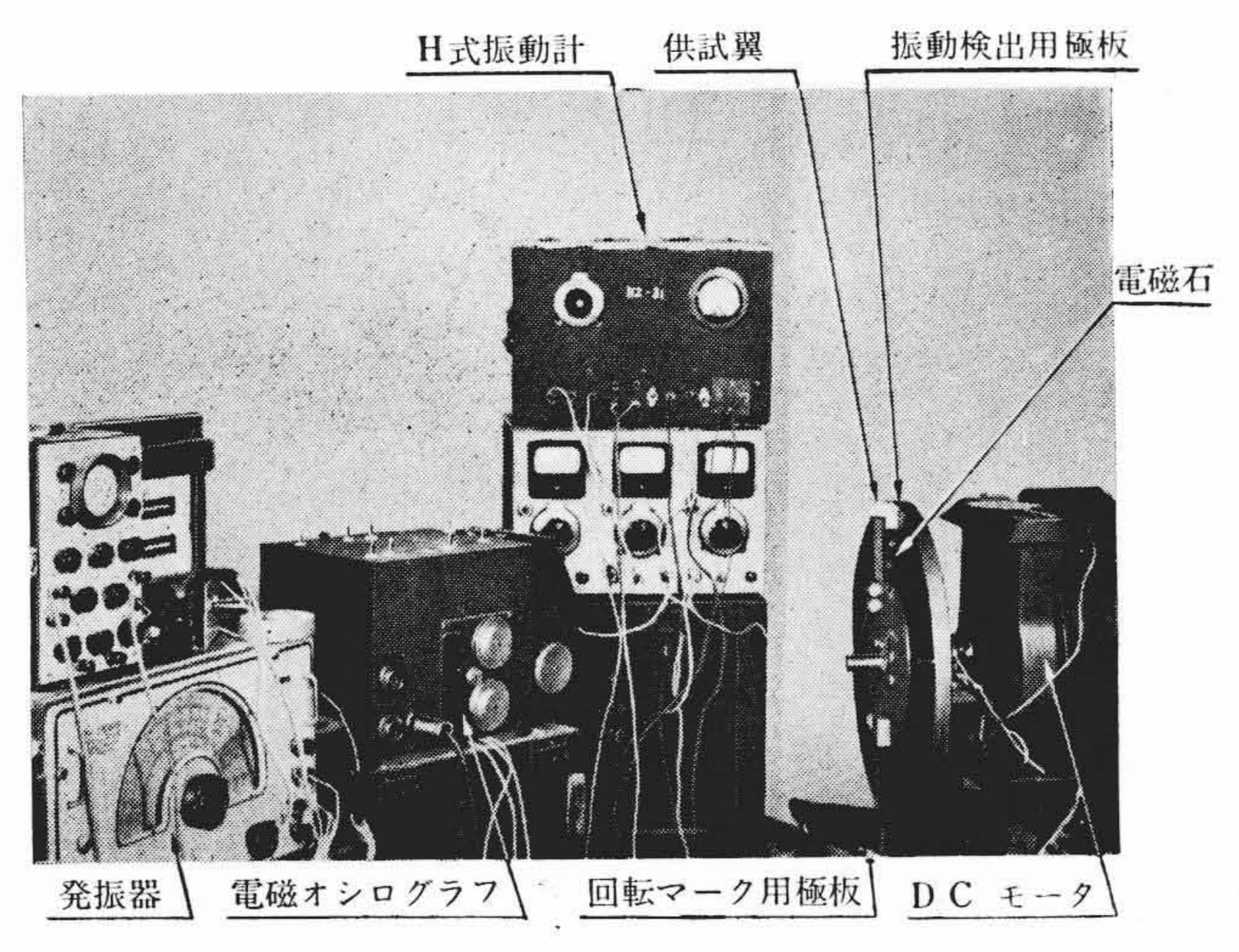
第2図に実験装置を示す。図は No.11 翼が回転面に θ=45 度の * 日立製作所日立研究所



傾きをもって取付けられた場合である。第3図は翼の取付け状況および振動測定装置の詳細である。ボス半径R, 翼長lなる翼をDCモータの軸端に取付け、速度 ω で回転しながら翼を発振器および電磁石により加振する。翼の振動は翼先端付近に設置した容量形振動計の電極板により電気容量変化として変換され、振動計に導かれたのち電磁オシログラフにより記録される。翼の固有振動数と発振器のサイクルが一致したときは振幅は極大となる。このときの振動の振動数をオシログラムから読みとり、回転時の固有振動数fを求める。静止時の固有振動数f。は別に測っておき既知であるので、f,f。および ω が既知となり、計算式

第1図 翼の寸法(単位 mm)

$$f^2 = f_0^2 + B\left(\frac{\omega}{2\pi}\right)^2$$
.....(1)



第2図 実 験 装 置

よりBを求めることができる。

2.3 翼の振幅分布の測定

Bを計算から求めるには、後述するように回転しない場合の共振 状態における翼の振幅分布が知られていると都合がよい。各翼を静 止状態で電磁石により共振振動せしめ、このときの振動状況を写真 撮影することにより振幅分布を決定した。

3. 計算方法ならびに結果

3.1 計 算 式

回転時の翼の固有振動数を計算するには、静止時の振動数f₀を関係式

$$f_0^2 = \frac{g}{(2\pi)^2} \cdot \frac{\int_0^l AX \, dx}{\int_0^l AX^2 \, dx} \dots (2)$$

により, また遠心力による復原力のみ作用した場合の振動数を

$$B\left(\frac{\omega}{2\pi}\right)^{2} = \frac{\int_{0}^{l} A(R+x) dx \int_{0}^{x} \left(\frac{dX}{dx}\right)^{2} dx}{\int_{0}^{l} AX^{2} dx} \dots (3)$$

ただし

1: 翼長

x: 翼根元から測った翼上の距離 (l=1.0 とすると x は 0 から 1.0 の間の範囲の値をとる)

A: x点における翼断面積

X: xの関数で,翼自重によるたわみ曲線を表わす(実際にこれを求めるには翼の共振振動時における振幅の翼長に対する分布を求め,これをxの簡単な関数として表わせばよい)。

R: ボス半径

g: 重力の加速度

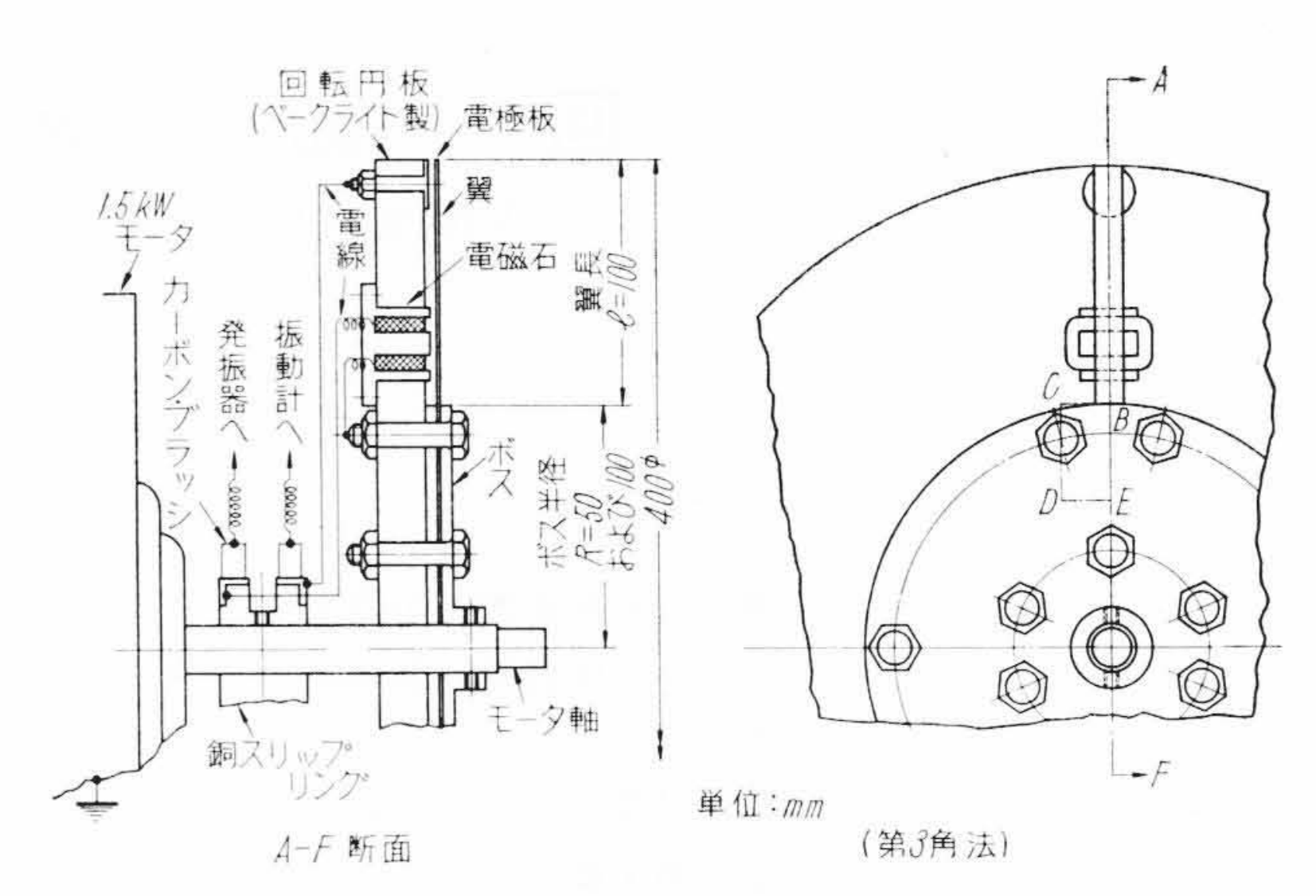
により求める必要がある⁽⁶⁾。(3)式より

$$B = \frac{\int_{0}^{l} A(R+x) dx \int_{0}^{x} \left(\frac{dX}{dx}\right)^{2} dx}{\int_{0}^{l} AX^{2} dx} \dots (4)$$

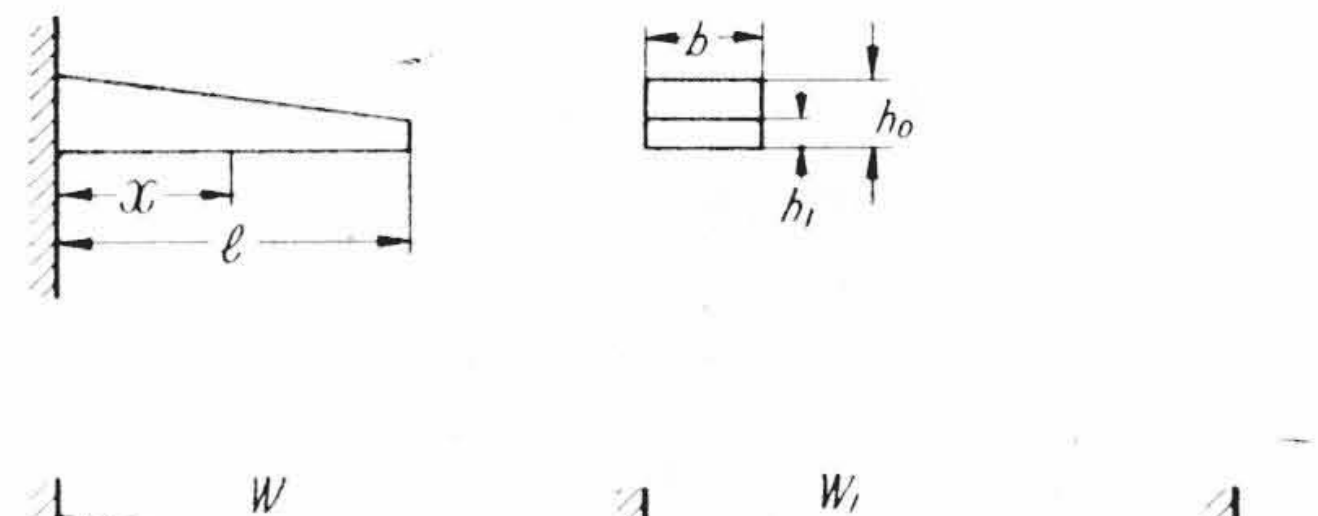
である。本実験においてはくさび状翼なるゆえ、翼断面積Aは根元 断面積 A_0 に対して次式で表わすことができる。

$$A = A_0(1+mx)$$
 (5)

ここに、 mは厚さのこう配を表わす定数である。



(図は No.1~No.10 翼の取付状態を表わす) 第3図 回転部の詳細図



第4図 くさび状翼の荷重分布

3.2 回転面に対する取付角 $\theta=0$ の場合のBの計算

(a) Xを理論的に与える場合

たわみ曲線Xは"片持ばりのたわみ曲線の微分方程式"(7)

$$M = EI \frac{d^2X}{dx^2} \dots (6)$$

よりみいだすことができる。上式で M は任意断面の曲げモーメント,EI は曲げこわさ, d^2X/dx^2 は曲率である。くさび状翼のM は第 4 図のように,分布荷重の総量 W を等分布荷重と三角形の分布荷重の二つに分けて考え,両荷重の総量をそれぞれ W_1 および W_2 とすれば

$$M = \frac{W_1}{2l}(l-x)^2 + \frac{W_2}{3l^2}(l-x)^3 \dots (7)$$

また、断面二次モーメントIは翼幅をb、根元の厚さを h_0 とすれば

$$I = \frac{1}{12} bh_0^3 (1+mx)^3 \dots (8)$$

となる。(7)および(8)を(6)式に代入して

$$\frac{d^2X}{dx^2} = \frac{2\gamma}{Eh_0^3l} \left\{ \frac{-(h_0 - h_1)x^3 + 3h_0lx^2 - 3(h_0 + h_1)l^2x + (h_0 + 2h_1)l^3}{(1 + mx)^3} \right\}$$

ただし、

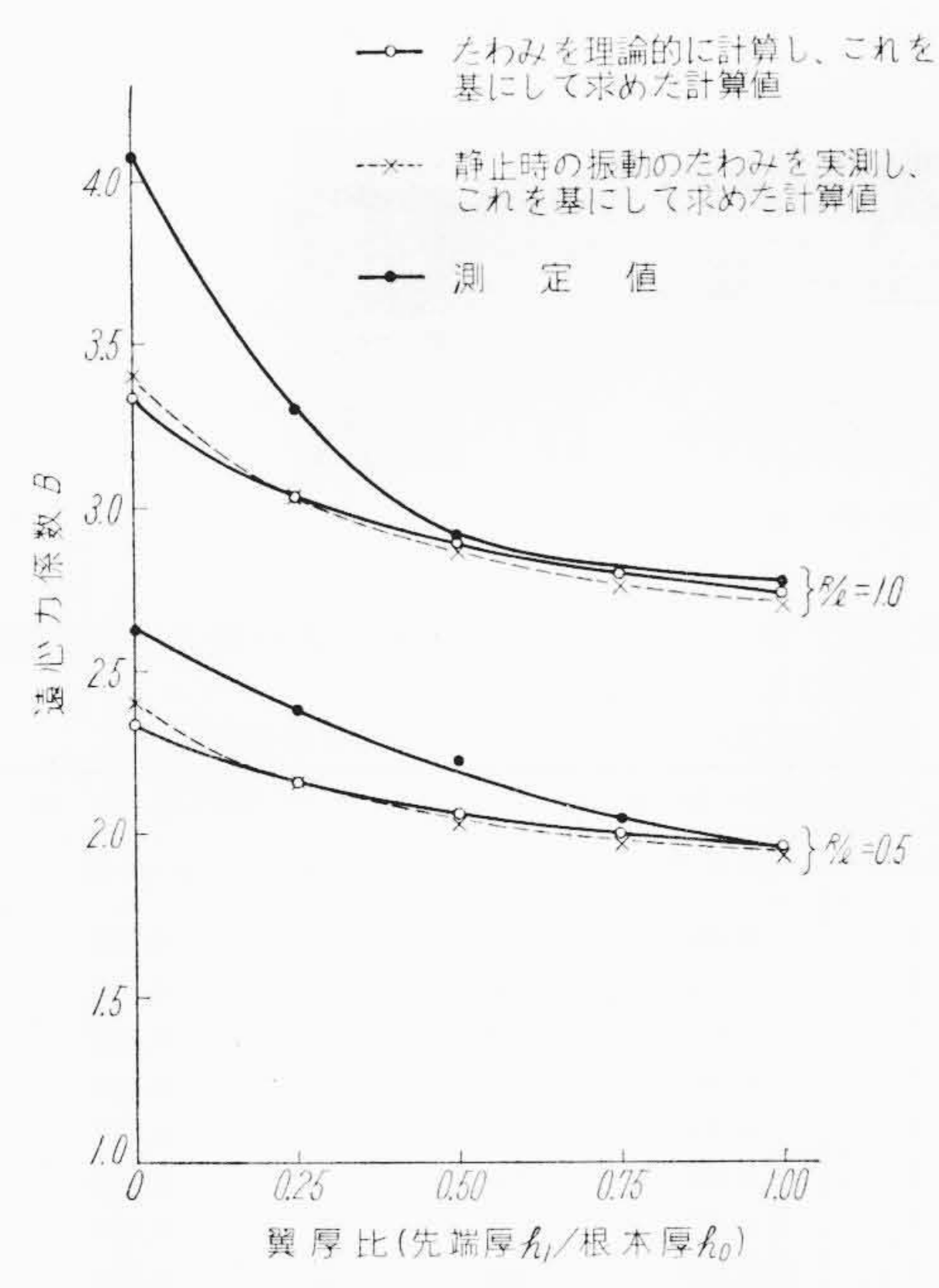
γ: 材料の単位体積の重量

h1: 翼先端の厚さ

が得られる。(9)式からたわみ曲線を表わすXの式を求めることができる。

各翼について(4), (5)および(9)式を用いてBの値を計算すると第1表(a)のようになる。計算過程の一例を付録(1)に示す。

R/l=1 および R/l=0.5 のときの B の翼厚比に対する関係を 第 5 図(\bigcirc 印の実線)に示す。



第5図 翼厚比と遠心力係数の関係

(b) Xを実測振幅から与える場合

たわみ曲線の式として各翼を通じ

3.3 回転面に対する取付角 0 + 0 の場合の計算

回転面に対しある角度をもって取付けられた均一断面翼について は次式が与えられている⁽⁸⁾。

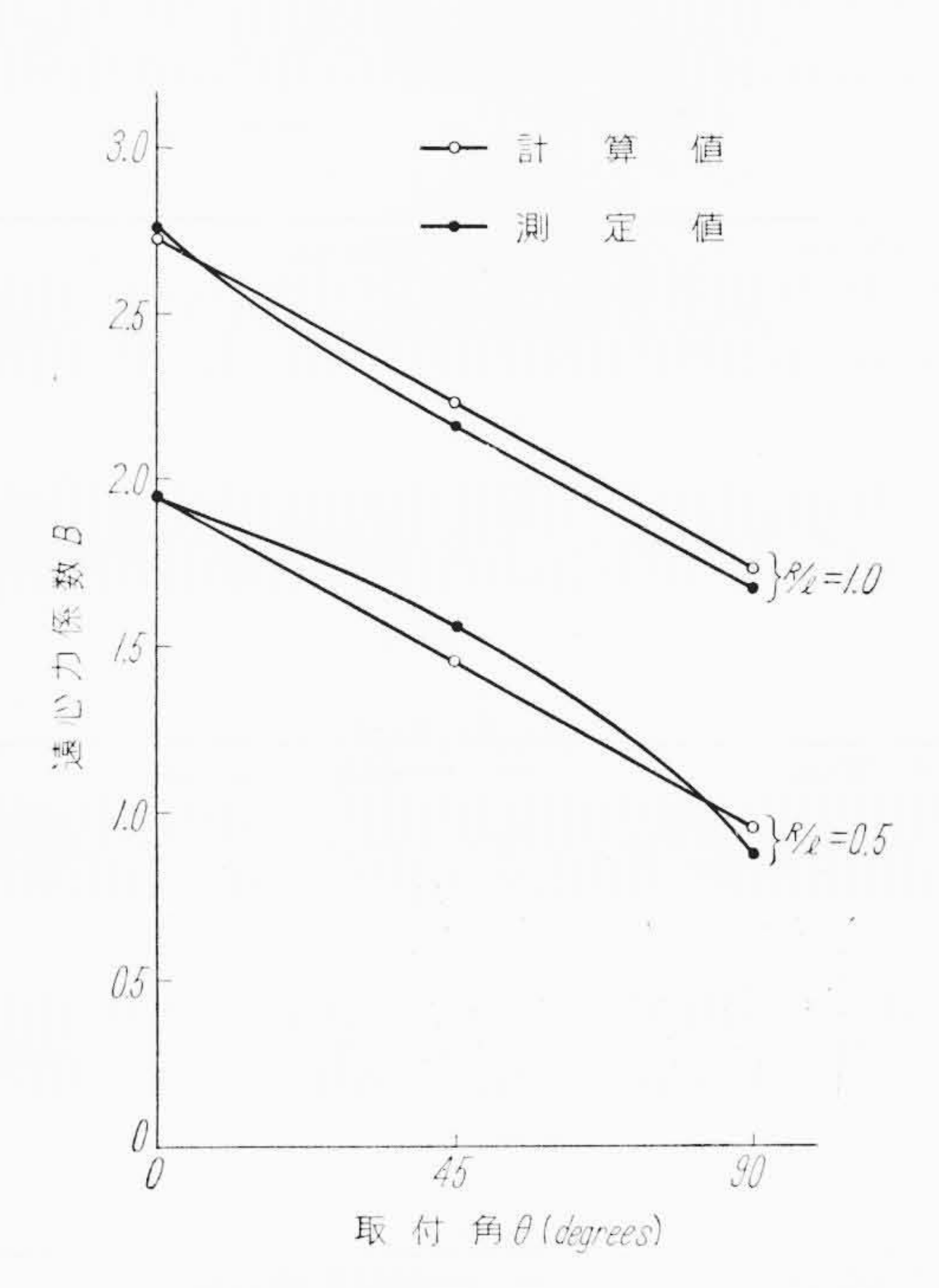
$$B = 1.558 \left(\frac{R}{l}\right) + 1.173 - \sin^2\theta \dots (11)$$

この式から R/l=1 および 0.5, また $\theta=45$ 度および 90 度の場合について計算した結果を第6図の〇印実線に示す。

第1表(a) B の 計 算 値

(たわみを理論計算し、これを基にして計算した値)

翼		_	備 考 (B の 値)					
No.	先端厚h1	B の 式	翼 No.	$B\begin{pmatrix} R/l=1.0\\ R=100 \end{pmatrix}$	翼 No.	$B\begin{pmatrix} R/l=0.5\\ R=50 \end{pmatrix}$		
1. 6.	1.2	$1.558\left(\frac{R}{l}\right)+1.173$	1	2.731	6	1.952		
2. 7.	0.9	$1.596\left(\frac{R}{l}\right)+1.198$	2	2.794	7	1.996		
3. 8.	0.6	$1.652\left(\frac{R}{l}\right)+1.232$	3	2.884	8	2.058		
4. 9.	0.3	$1.749\left(\frac{R}{l}\right)+1.280$	4	3.029	9	2.155		
5. 10.	0	$2.000\left(\frac{R}{l}\right)+1.333$	5 5	3.333	10	2.333		



(均一断面翼 No.11 の場合) 第6図 取付角と遠心力係数の関係

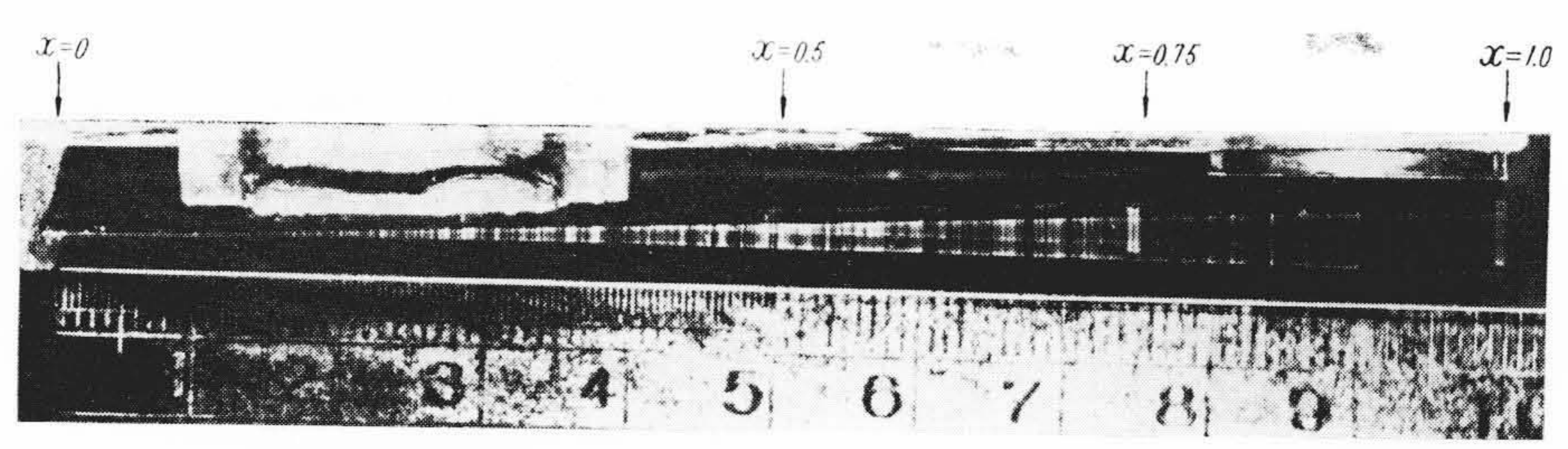
第 1 表 (b) B の 計 算 値 (静止時の振動振幅を実測し、これを基にして計算した値)

	翼*			翼					備 考 (Bの値)			
NT.	No. 先端厚 ボス半径 R	北京水区 D	B の 式	No.	先端厚	端厚 ガス半径 R	B の 式	平均Bの式	R/l=1.0		R/l=0.5	
No.		示为丰任 K	大手住 K	10.	h_1 h_1 h_2 h_3 h_4 h_4			No.	В	No.	B	
1	1.2	100	1.547 $\left(\frac{R}{l}\right)+1.154$	6	1.2	50	$1.551 \left(\frac{R}{l}\right) + 1.163$	$1.549\left(\begin{array}{c}R\\l\end{array}\right)+1.159$	1	2,708	6	1.934
2	0.9	100	1.565 $\left(\begin{array}{c}R\\l\end{array}\right)+1.158$	7	0.9	50	$1.599\left(\frac{R}{l}\right) + 1.193$	$1.582\left(\frac{R}{l}\right) + 1.176$	2	2.758	7	1.967
3	0.6	100	1.610 $\left(\begin{array}{c} R \\ l \end{array}\right) + 1.173$	8	0.6	50	$1.678 \left(\frac{R}{l}\right) + 1.267$	$1.644 \left(\begin{array}{c} R \\ l \end{array} \right) + 1.220$	3	2,864	8	2.042
4	0.3	100	$1.692\left(\frac{R}{l}\right)+1.228$	9	0.3	50	$1.796 \left(\frac{R}{l}\right) + 1.341$	$1.744\left(\frac{R}{l}\right) + 1.285$	4	3,029	9	2.157
5	0.0	100	$2.026 \left(\frac{R}{I} \right) + 1.399$	10	0.0	50	1.969 $\left(\frac{R}{I}\right) + 1.406$	1.998 $\left(\frac{R}{I}\right) + 1.403$	5	3.401	10	2.402

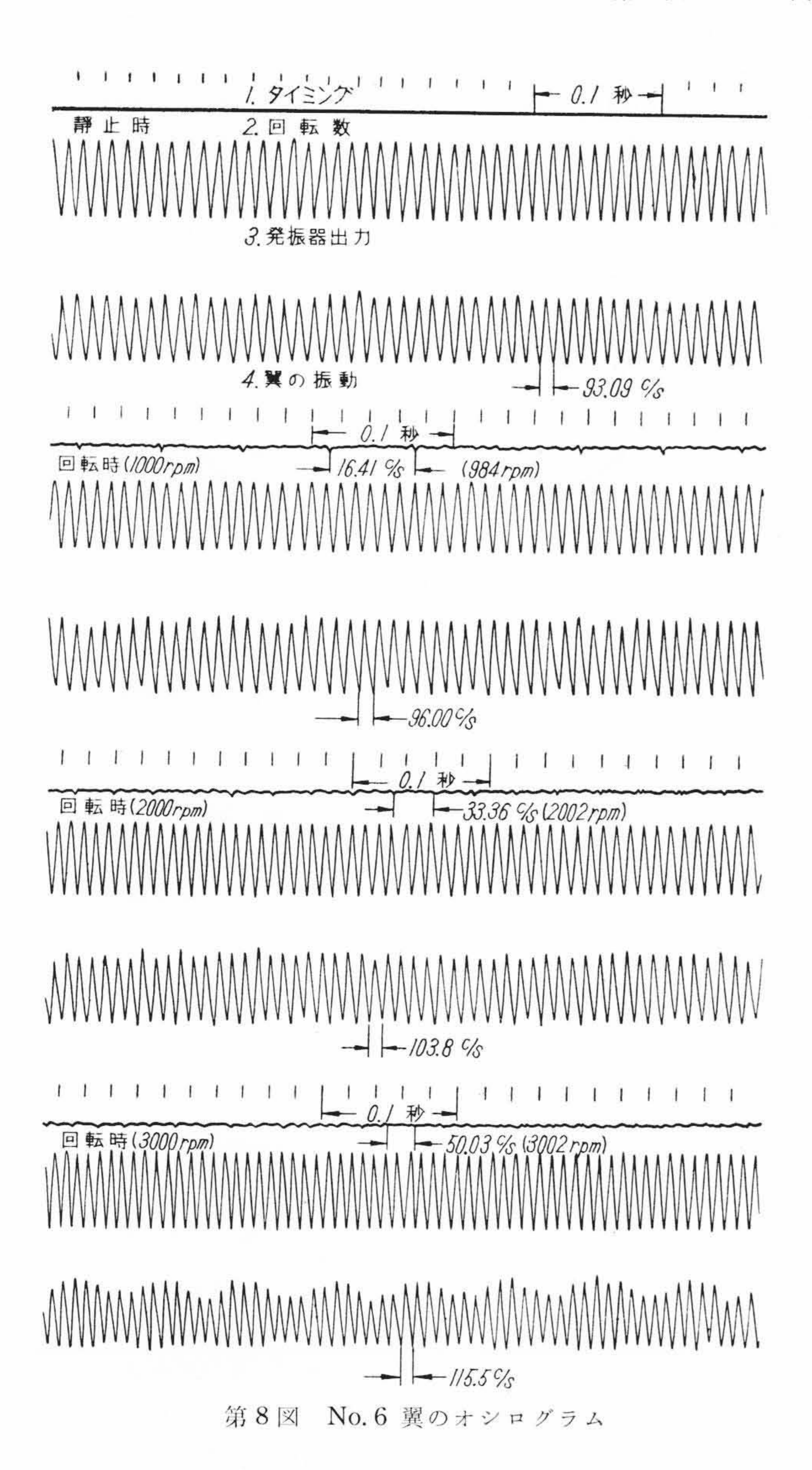
注: 1. 翼長はすべて l=100 mm, 翼根元厚はすべて 1.2 mm

2. 平均 B は $B=B_1\left(\frac{R}{l}\right)+B_2$ として B_1 , B_2 は同一寸法の翼 (h_1 の等しい No.1 と No.6……No.5 と No.10) について別々に平均したものである。

日



第7図 No.6 翼の振動振幅分布



4. 実験結果

4.1 振動振幅分布

静止翼の共振振動の振幅分布の写真から、X=0.5l, 0.75l, 1.0l の位置の振幅を読みとり、自由端の振幅に対する比として表わした結果を第2表左方に示す。参考までに(9)式を積分して得られるたわみXの x=0.5l, 0.75l, 1.0l の各位置における計算値も第2表右方に示す。また共振振動の写真の一例を第7図に示す。

4.2 回転中の振動数および遠心力係数

回転数が0(静止), 1,000, 2,000, 3,000 rpm のときの各翼の固有振動数の測定結果を**第3表**(a)(b)に示す。またこの測定結果から(1)式により各回転数別にBを求めた結果もあわせて**第3表**(a)(b)に示す。この表のBは回転数により相当のばらつきがあるので

第 2 表 x=1, 0.75 および 0.5 の位置の実測振動振幅ならびにたわみ計算値 (x=1) の位置の振幅またはたわみに対する比で表わす)

翼	実 ;	則 振 動 振	幅	たわみ計算値				
番号	x=1	x = 0.75	x=0.5	x=1	x=0.75	x=0.5		
1	1	0.668	0.361	1	0.668	0.354		
2	1	0.656	0.358	1	0.656	0.337		
3	1	0.648	0.348	1	0.638	0.314		
4	1	0.583	0.294	1	0.609	0.284		
5	1	0.456	0.192	1	0.563	0.250		
6	1	0.660	0.353	1	0.668	0.354		
7	1	0.678	0.351	1	0.656	0.337		
8	1	0.626	0.296	1	0.638	0.314		
9	1	0.595	0.261	1	0.609	0.284		
10	1	0.447	0.191	1	0.563	0.250		

(Bは回転数に関係しないはずである)、これを平均して各表の終りに示した(この平均値は表の横および縦欄の各測定値を相互に比較し、著しく異なるものは除外して算出した)。第3表(a)(b)のBの平均値より、翼厚比とBの関係および取付角とBの関係をそれぞれ第5図および第6図(いずれも・印実線)に示す。また振動のオシログラムの一例を第8図に示す。

5. 結果の検討

5.1 取付角 $\theta=0$ の場合

翼厚比が1の場合のBについては、Campbell $^{(9)}$ 、小野 $^{(2)}$ および鈴木氏 $^{(10)}$ などのいくつかの理論式があり、それぞれ異なった値を与える。Campbellの式は(4)式 (Rayleigh 法による式)を用いて翼厚比が1および0についてだけ計算しており、その結果は本報の計算結果(第1表(a)の1.558 $\left(\frac{R}{l}\right)$ +1.173 および2.000(R/l) +1.333)と一致している。ここでは上記3者の理論式と実験から得た式とを比較してみる。

第3表(a)より、R/l=1および 0.5 のときの実験値(No.1は 2.766, No. 6は 1.935)は(4)式による計算値(No.1で 2.731, No. 6で 1.952)に対して、それぞれ+1.3%および -0.9%の差があり、小野氏の式による値(No.1で 2.45, No. 6で 1.725)に対してそれぞれ+12.9%および +12.2%, また鈴木氏の式による値(No.1で 2.764, No. 6で 1.979)に対してそれぞれ +0.1%および -2.3%の差があり、本報の実験値は(4)式または鈴木氏の式による計算値とほとんど一致する。したがって回転翼の固有振動数を計算するに当り、Bとして諸氏のいずれの式を採用するかにより値が異なってくるが、均一断面翼については上記計算値と実験値との比較結果から(4)式による B=1.558 (R/l) +1.173 なる式、または鈴木氏の式(B=1.5709(R/l) +1.1934)のいずれかを用いるのが妥当と思われる。

第5図からBは実験値、計算値ともに翼厚比が小になるにつれ、曲線をなして上昇することがわかる。しかも実験値と計算値との差は翼厚比が小になるほど大きくなり、実験値は計算値に対し R/l=1 の場合で、翼厚比が 1,0.75,0.5,0.25,0 についてそれぞれ +1.3% +0.6%, +0.8%, +8.8%, +22.2% であり、また R/l=0.5 の場合はそれぞれ -0.9, +2.0, +7.9, +10.2, +12.2% 大である。す

動

第3表(a) 固有振動数および遠心力係数の測定値 (取付角 θ=0)

		翼 No.	1	2	3	4	5	6	7	8	9	10
		翼 長 1			*	100						
濯	Į	先 端 厚 h1	1.2	0.9	0.6	0.3	0	1.2	0.9	0.6	0.3	0
4	寸	根 元 厚 ho			1.2				1.2			
法 (mm)	翼 幅 b			12		12						
	ボ ス 半 径 R			100				50				
		R/l	1.0					0.5				
1	f_0	静止	93.04	97.46	103.1	114.5	143.4	93.09	96.31	102.6	113.2	144.
司 三 一 三 一 三 一 三 一 三 一 三 一 三 一 三 一 三 一 三		1,000 rpm	97.38	101.6	107.1	118.7	147.4	96.00	99.36	106.0	116.2	147.
J	f	2,000 rpm	108.8	112.9	118.7	129.7	158.9	103.8	107.3	114.2	123.8	154.
j (s)		3,000 rpm	126.1	130.2	134.3	146.8	176.5	115.5	118.9	126.4	137.0	163.
15	E.	1,000 rpm	2.797	2.795	2.889	3.381	4.092	2.043	2.127	2.495	2.546	3.75
遠心力係数 B	J	2,000 rpm	2.734	2.775	2.955	3.253	4.060	1.895	1.999	2.261	2.227	2.81
	K T	3,000 rpm	2.768	2.861	2.876	3.258	4.069	1.868	1.981	2.180	2.352	2.42
	3	平均	2.766	2.810	2.907	3.297	4.074	1.935	2.036	2.221	2.375	2.61

第3表(b) 固有振動数および遠心係数の測定値 翼No 11 取付角 θ = 45° および 90° の場合)

口

		回転数	R/l	=1.0	R/l	=0.5
		(rpm)	$\theta = 45^{\circ}$	$\theta = 90^{\circ}$	$\theta = 45^{\circ}$	$\theta = 90^{\circ}$
田士仁利米	fo	静止	92.50	93.69	92.54	93.61
固有振動数		1,000	95.38	94.87	95.10	94.92
(c/s)	f	2,000	104.7	103.1	101.4	98.71
遠心力係数		1,000	2.024	0.8232	1.684	0.8719
		2,000	2.296	1.677	1.430	0.8909
В		平均	2.160	1.677	1.557	0.8814

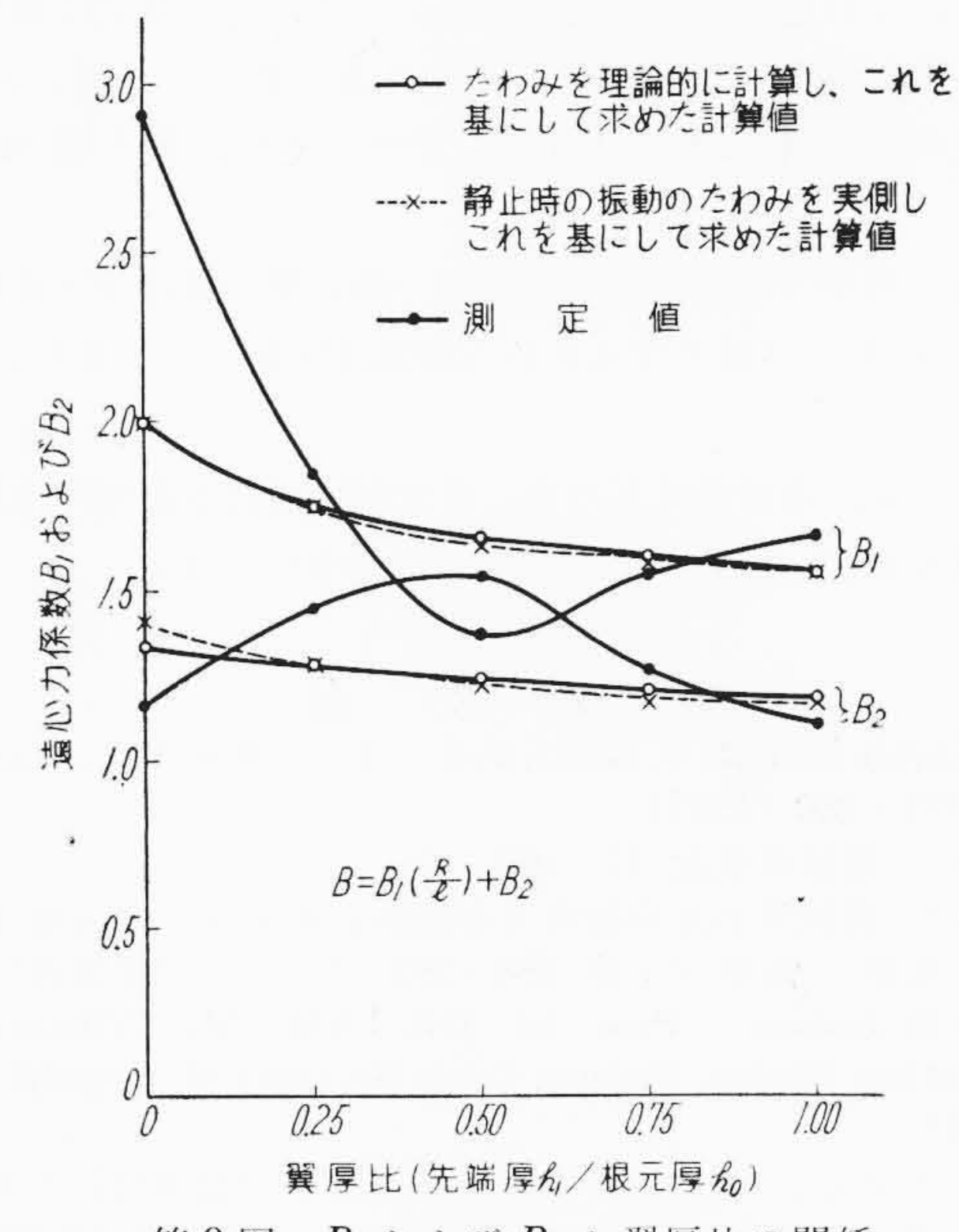
備考: 翼 No.11 の寸法は翼 No.1 または翼 No.6 と同様

なわち翼厚比が $1.0\sim0.5$ では+8%以下で計算値と比較的よく合うが、翼厚比が $0.5\sim0$ では $8\%\sim22\%$ の差を生じ一致しない。

このように、実験値が計算値に対し、翼厚比が小の場合ほど大きくなるのは、主として回転中の翼の振動形が静止時の振動形と異なるためと思われる。すなわち先薄の翼は回転時においてはフラッタのように不安定な振動現象を生じて、先端部のみ、とくにたわみやすくなり、その結果Bが増大すると想像される。

R/l=1 および 0.5 の場合の測定結果から, B_1 および B_2 を算出し $(B=B_1(R/l)+B_2$ としてある),第9図(・印実線)に示す。実験値は計算値(\bigcirc 印実線)に比較してかなりのばらつきを示している。この理由は主として上述の不安定な振動現象によるものと思われる。

静止時の振幅分布の測定値を(10)式で表わし、これを(4)式に適用して決定した B_1 , B_2 の平均値を第9図(×印破線)に示す。第9図より、振幅分布の測定値を基にして得たBは各翼比を通じ、Xに理論値(たわみの式による計算値)を与えた場合のBと比較的よく一致し、R/l=1.0 および 0.5 について、各翼厚比を通じ差は最大 3% である。これよりくさび状翼のBを求めるには、たわみ曲線を表わす式として、 $X=ax^2+bx^3+cx^4$ を用いることは実用上さしつかえないことがわかる。(10)式で実測振幅のかわりにたわみの計算値(第2表右の各値)を用い、(10)式のa, b, c を定め、しかるのち(4)式によりBを計算した結果は、翼厚比 0.5 の場合は B=1.657(R/l)+1.240 となる。一方(9)式を積分して Xを決定し、このXを用いて(4)式によりBを求めた結果は B=1.652(R/l)+1.232 となり、前記の値とほぼ一致している。したがって翼断面積を簡単なXの関数とし、3点の位置のXを静止時の実測振幅または図式計算により与



第9図 B_1 および B_2 と翼厚比の関係

えることができれば、くさび状断面翼に限らず、別な変断面翼についても、比較的容易に(4)式を計算し、Bを求めることができる。こころみに三角形先細翼(翼厚比=1、翼幅比=先端幅/根元幅=0)の実測振幅分布 $X_{x=1}$: $X_{x=0.75}$: $X_{x=0.50}$ =1:0.603:0.320 から前と同様に(10)式の各係数を求め(a=2.103, b=-2.189, c=1.086となる)(10)式を決定し、これを用いて(4)式より B を計算すると

B = 1.924 (R/l) + 1.191

となり、またたわみ曲線を理論的に与えて、すなわち

$$X = \frac{2\gamma}{3Eh_0^2} \left(\frac{x^4}{4} - lx^3 + \frac{3}{2} l^2 x^2 \right)$$

として計算すると

$$B = 1.944 \left(\frac{R}{l}\right) + 1.194$$

となり、前記Bとほぼ一致する。

5.2 取付角 0 +0 の場合

 θ =45 度および 90度について実験値と計算値と比較すると,**第** 6 図よりわかるように,R/l=1 のとき実験値は計算値よりいずれも,それぞれ 3.2%および 3.1% 低目であり,R/l=0.5 のときは 7.2% 高目および 7.4% 低目で,計算値を上下してばらつくが.だいたい

一致しているとみてよい。したがって、均一断面翼が回転面に対し角度 θ をもつ場合の遠心力係数Bは $\theta=0$ のときのBより $\sin^2\theta$ だけ低下すること((11)式が理論上正しいこと)が実験的にも証明されたことになる。

6. 結 言

回転面に対する取付角度0なるくさび状断面翼の遠心力係数Bに関し,Rayleigh の計算法による計算と実験を,また回転面に対する取付角度が45度および90度の場合の均一断面翼のBに関し実験し理論値と比較した。

- (1) 取付角が0なる場合, Bは翼厚比(先端厚と根元厚の比)が 小になると計算値,実験値ともに増す(第5図参照)。
- (2) 翼厚比の減少に対し、Bの増す割合は実験値が計算値より大である。すなわち、R/l(ボス半径と翼長の比)=1 および 0.5 のBの実験値は、翼厚比が $1\sim0.5$ では計算値より $0\sim8%$ 高く、 $0.5\sim0$ では $8\sim22\%$ 高くなる。(第5図参照)。
- (3) Bの計算で、翼のたわみ曲線を近似的に $X = ax^2 + bx^3 + cx^4$ と仮定し、これを静止翼の実測結果から求めて計算式に採用した場合と、Rayleigh の計算法から B を正規に算出した場合とでは、各翼厚比の翼を通じ、誤差は 3%以下で一致する(第1表(a)(b)参照)。
- (4) 取付角が $\theta \neq 0$ なる場合の均一断面翼のBは $\theta = 0$ なる場合より $\sin^2\theta$ だけ低下するという理論は実験的にも正しい (第6 図参照)。

終りにのぞみ,本研究にあたり,日立製作所日立研究所今尾部長よりご指導を賜わったことに対し厚くお礼申しあげる。

参考文献

- (1) H. Lamb and R. V. Southwell: Proc Roy. Soc., London, 99, 272~280 (1921)
- (2) 小野: 機械学会誌 27, 467~479 (大 10)
- (3) 渡辺: 機械学会東京臨時大会講演会前刷 7~13 (昭 25-10)
- (4) 妹沢克惟: 振動学上巻 288~293 (昭 24, 岩波書店)
- (5) Yoichi Kobori: Proc. Ist JNCTAM, 547 Vibration of Rotating Blades Having Cross Sections of Several Kinds (1952)
- (6) ティモシェンコ(谷下訳): 工業振動学 322(昭27 コロナ社)
- (7) 南日実: 材料強弱および弾性学 164~165 (昭 18 養賢堂)
- (8) M. J. Schilhansl: Jl, of Applied Mechanics **25**, 28~30 (1958)
- (9) W. Campbell, W. C. Heckman: General Electric Co., Reprint from A. S. M. E Paper No. 1925
- (10) 鈴木: 航空学会誌 8, No. 75 713~722 (昭 16)

付録・遠心力係数の計算例

(1) Xを理論的に与える場合の計算

No. 4 翼について計算する。 $h_0=1.2$, $h_1=0.3$ であるから本文(5) 式のm は

$$m = -\frac{h_0 - h_1}{h_0 l} = -\frac{0.75}{l}$$

(9)式より

$$\frac{d^2X}{dx^2} = 0.9 \, l^3K \left\{ \frac{-x^3 + 4 \, l \, x^2 - 5 \, l^2 \, x + 2 \, l^3}{(l - 0.75x)^3} \right\}$$

ただし

$$K = \frac{2\gamma}{Eh_0^3 l}$$

$$\frac{dX}{dx} = 0.9l^3 K \left\{ \frac{4l^3}{81(l - 0.75x)^2} - \frac{16l^2}{27(l - 0.75x)} + \frac{64}{27}x + C_1 \right\}$$

$$x=0$$
 のとき $\frac{dX}{dx}=0$ ∴ $C_1=\frac{44}{81}l$

$$\therefore X = 0.9 l^3 K \left\{ \frac{16 l^3}{243 (l - 0.75 x)} + \frac{64}{81} l^2 \log \left(1 - \frac{0.75}{l} x \right) + \frac{32}{27} x^2 + \frac{44}{81} l x + c_2 \right\}$$

$$x=0$$
 のとき $X=0$: $C_2 = \frac{-16 l^2}{243}$

つぎに分子を計算する。

分子=
$$\int_0^l (1+mx) (R+x) dx \int_0^x \left(\frac{dX}{dx}\right)^2 dx = RI_1$$

+ $(mR+1)I_2+mI_3$

とおけば

$$I_{1} = \left[\frac{l^{6}}{54 (l - 0.75x)^{2}} - \frac{4 l^{5}}{3 (l - 0.75x)} + \left(\frac{482}{3} l^{3}x - \frac{2,222}{9} l^{4}\right) \log \left(1 - \frac{0.75}{l} x\right) + 12 x^{4} + 11 lx^{3} + \frac{1,657}{32} l^{2}x^{2} - \frac{6,631}{36} l^{3}x\right]_{0}^{l}$$

$$= 6.3940 l^{4}$$

$$I_{2} = \left[\left(\frac{241}{3} l^{3} x^{2} - \frac{5,080}{27} l^{5} \right) \log \left(1 - \frac{0.75}{l} x \right) + \frac{2 l^{7}}{81 (l - 0.75 x)^{2}} \right]$$

$$\frac{148 l^{6}}{l^{6}} + \frac{6.912}{l^{6}} = 5.940 \text{ mag} + 24.855 \text{ mag} = 37.36$$

$$-\frac{148 l^6}{81 (l-0.75 x)}+\frac{6,912}{720} x^5+\frac{5,940}{720} l x^4+\frac{24,855}{720} l^2 x^3-\frac{37,390}{720}$$

$$l^3x^2 - \frac{100,640}{720} l^4x \bigg]_0^l = 5.0145 l^5$$

$$I_3 = \left[\left(\frac{482}{9} l^3 x^3 - \frac{46,128}{243} l^6 \right) \log \left(1 - \frac{0.75}{l} x \right) + \frac{1}{77,760} \right]$$

$$\left\{ 622,080 \ x^6 + 513,216 \ lx^5 + 2,013,255 \ l^2x^4 - 1,998,000 \ l^3x^3 \right.$$

$$-4,\!046,\!400\,l^4x^2-10,\!928,\!640\,l^5x+\,\,\frac{2,\!560\,l^8}{(l\!-\!0.75\,x)^2}$$

$$-\frac{194,560 \, l^7}{(l-0.75 \, x)} \right]_0^l = 4.1161 \, l^6$$

∴ 分子 = $2.6332 l^4R + 1.9274 l^5$

$$\therefore B = 1.749 \left(\frac{R}{l}\right) + 1.280$$

(2) Xを実測振動振幅から与える場合の計算

本文(4)式をみればわかるように断面積Aが常数かあるいはxの簡単な関数なら、(4)式の積分は比較的容易にできる。くさび状翼

は $A = A_0(1+mx)$ と表わされるので、一般式を導くことができる。 (4)式で分母分子の A_0 は消去できるので、 A_0 はないものとしてよい。

回

(a) 一般式

(4)式の分子から計算する。 $X=ax^2+bx^3+cx^4$ であるから

$$\therefore \Im \exists = \int_0^l \left\{ R + (mR + 1)x + mx^2 \right\} \left\{ \frac{4}{3} a^2x^3 + 3abx^4 + \frac{1}{5} \right\}$$

$$(9 b^2 + 16 ac) x^5 + 4 bcx^6 + \frac{16}{7} c^2 x^7 dx = RI_1 + (mR + 1)I_2 + mI_3$$

ただし

$$I_{1} = \frac{1}{3} a^{2}l^{4} + \frac{3}{5} abl^{5} + \frac{1}{30} (9 b^{2} + 16 ac) l^{6} + \frac{4}{7} bcl^{7} + \frac{2}{7} c^{2}l^{8}$$

$$I_{2} = \frac{4}{15} a^{2}l^{5} + \frac{1}{2} abl^{6} + \frac{1}{35} (9 b^{2} + 16 ac) l^{7} + \frac{1}{2} bcl^{8} + \frac{16}{63} c^{2}l^{9}$$

$$I_3 = \frac{2}{9} a^2 l^6 + \frac{3}{7} ab l^7 + \frac{1}{40} (9 b^2 + 16 ac) l^8 + \frac{4}{9} bc l^9 + \frac{8}{35} c^2 l^{10}$$

つぎに分母を計算する。

分母=
$$\int_0^l AX^2 dx = \int_0^l (1+mx) (ax^2+bx^3+cx^4)^2 dx = J_1+mJ_2$$

ただし

$$J_1 = \frac{a^2}{5} l^5 + \frac{1}{3} ab l^6 + \frac{1}{7} (b^2 + 2ac) l^7 + \frac{1}{4} bcl^8 + \frac{c^2}{9} l^9$$

$$J_2 = \frac{a^2}{6} l^6 + \frac{2}{7} ab l^7 + \frac{1}{8} (b^2 + 2ac) l^8 + \frac{2}{9} bc l^9 + \frac{c^2}{10} l^{10}$$

$$B = \frac{RI_1 + (mR+1)I_2 + mI_3}{J_1 + mJ_2}$$

(b) 数值計算例

No. 7 翼について計算する。 $h_0=1.2, h_1=0.9$ なるゆえ m=-1/4l

である。また第3表より振幅比は

 $X_{x=1}: X_{x=0.75}: X_{x=0.5}=1: 0.678: 0.351$

である。この値を本文(10)式に入れると

$$X_{x=1}=a+b+c=1$$

 $X_{x=0.75} = 0.5625 \ a + 0.4219 \ b + 0.3164 \ c = 0.678$

 $X_{x=0.5} = 0.25 a + 0.125 b + 0.0625 c = 0.351$

この方程式より

$$a = 1.782$$
, $b = -0.7273$, $c = -0.0523$

が求まる。したがってたわみ曲線を表わす式Xは

 $X = 1.782 x^2 - 0.7273 x^3 - 0.0523 x^4$

となる。この係数a, bおよびcの値を前記 $I_1 \sim J_2$ に代入して

 $I_1 = 0.4219 \, l^8$

 $I_2 = 0.3122 \, l^9$

 $I_3 = 0.2495 \, l^{10}$

 $J_1 = 0.2620 \, l^9$

 $J_2 = 0.2106 \, l^{10}$

$$B = 1.599 \left(\frac{R}{l}\right) + 1.193$$

特 許 と 新 案



最近登録された日立製作所の特許および実用新案

(その1)

別	登録番号	名	称	工場別	氏	名	登録年月日
許	257309	接触変流機運	転 自 動 制 御 装 置	日立工場	吉 岡	孝 幸	34. 12.
//	257311	THE RESERVE STATE OF THE PARTY COURSE	D直流電圧調整装置	日立工場	平川	克 己	"
(t)	20,011	IT 1 WI PR TE VIC PH			藤 末 島 藤	克 己 勝 美 甫	
					浜		
				D -4 -7 HB		奎 二 声 郎	34. 12.
"	257466		過 電 流 圧 制 装 置	日立工場	石 垣	喜 重 郎春 雄	11
"	257472	正負励磁用	A SEPT MANUEL THAT STREET	日立工場	加藤		",
"	257478	原子炉内タ	ンク挿脱装置	日立工場	後藤	二郎	",
"	257479	原子炉内部		日立工場	後藤大	二郎	",
"	257480	原子炉し	やへい体	日立工場	大木	新彦	",
"	257467	タップ切換		国分工場	西本家	喜 好 無 計 郎	",
"	257469	交流 電気機関車	回路の直流遮断装置	国分工場	宮 崎池 田	徳太郎正一郎	
"	257476	空気	遮 断 器	国分工場	安 藤	卓 郎	"
"	257481	限 時 動 作	油入制動器	国分工場	中川	幸太郎	"
"	257761	装甲配電盤におけ	る電動機回路開閉装置	国分工場	安 藤小 林	卓	34. 12. 1
"	257470	電 動 発 電	制御装置	水戸工場	一木	利信	34. 12.
					茂 立 川	正 二 四 三	
"	257474	長大物輸送	用 中間 台 車	笠戸工場	中村	陽一	"
"	257307	電動操作式ロー	タリープラグバルブ	亀有工場	寺 田	進	34. 12.
"	257473	流体変速機	きの制御装置	亀有工場	渡 部	富 治	34. 12.
"	257475	逆止	弁 装 置	亀有工場	木 暮山 内	健三郎 正	"
"	257468	時間に比例した電	気的出力をうる装置	多賀工場	渡 井 藤	三 夫 武 二	"
	957471)	着 磁 装 置	戸塚工場	平 本 山	淳 寛 美	",
"	257471	永久磁石	TOTAL CONTRACTOR CONTR	戸塚工場	森山	見 天 寛 美	",
"	257477	継電器	回 路 装 置	广州上场	田 村	秋 雄	1.6

最近登録された日立製作所の特許および実用新案

(その2)

(前頁より続く)

Í	别	登銀番号	名	称	工場別	氏	名	登録年月日
à	許	257308	蛍 光 放 電 管	点 灯 装 置	中央研究所	中村	純之助	34. 12.
"		257310	接触変流機	保 護 装 置	日立研究所	三 橋 本	登 本 明	
用新	家	504108	竪軸発電機	の軸受箱	日立工場		英明	94 19 1
"	1 710	504111	AND THE PARTY OF T	冷却調節装置	日立工場	1 1 1 1 1 1 1 1 1 1 1 1 1 1 1 1 1 1 1	全右衛門	34. 12. 1
			77 3 3m 41 Hz	11 4 两 页 衣 直	п <u>л</u> . л. <i>М</i>		政 吉 青 美	"
11		504120	電気車の接地	用刷子装置	日立工場	VOM DE	養 雄	"
"		504126	半 導 体 整 流	器 単 位 体	日立工場		男 胤	"
		504104	****	TOTAL MANAGE		中戸川	武	
11.		504134	押ボタン	開 閉 器	日立工場	点 上	養 次	"
"		504140	交 流 発 電 機 の	電 圧 調 整 装 置			正 明	
"		504152	1 Mr 20 120	電 圧 調 整 装 置動 励 磁 調 整 装 置	日立工場日立工場	高尾	滋	"
"		504153		閉部潤滑装置	日立工場	今 尾 甲 賀 j	隆 正 三	"
			12 12 2 110 122 111	四 阳 积 日 及 巨	H 11. 11. 70	佐 藤	L 二 弘	"
"		504157	誘導同期電動機	相差角調整装置	日立工場		泰 男	"
"		504161	手動開閉器と電磁接触器	器との電気的鎖錠装置	日立工場		幸 夫	- "
		504114	-1. Art +1. N+ HI	VIII has the sent		田所江	武 夫	
"		504114	水銀整流器	運転装置	国分工場		E一郎	"
"		504115	複数機器の偏個運転を	の止する切替開閉装置	国分工場	森井	進	"
"		504116	水 銀 整 流 器	運転装置	国分工場	大 治 田 〕	透 E 一 郎	"
"		504119	TOTAL SOURCE SERVICE STATE STATE	方対応装置	国分工場	TANKE THE THE	L 一 郎 E 一 郎	"
11		504121	断 路 器 固 定	接触装置	国分工場		青次	"
					- 21 - W	羽 藤 田	召一郎	
		E04120	15 //- BB BB BB	NZ //-			的 文	
"		504130 504131		単位スイッチ	国分工場		子 延	"
"		504131	遮断器油槽 配電箱内相間	界降装置	国分工場		巨 夫	"/
.,		304130	配電箱内相間	隔壁引出装置	国分工場		幸 太 郎 忠 雄	"
							· 美 三	
"		504137	蓄 電 器 油 量	調 整 装 置	国分工場	斎 藤 彦	芒 二	"
"		504138	油 ス 芽 専 明 ラ , ニ ;	/ 25° 25 - 1 25 - 1 - 1 - 1 - 1 - 1 - 1 - 1 - 1 - 1 -	日 八 子 川		身 郎	
"		504139	油入蓄電器フィーデ:油 入 蓄 電 器 端	CONTRACTOR CARROL MICAGO	国分工場	滑川	清	"
**		004103	佃 八 亩 电 品 垧	丁	国分工場	新藤 雰 山 中 都	き 二 文 二	"
"		504148	蓄電器の油	量調整装置	国分工場		文 一 语 二	"
"		504163	空 気 遮	断器	国分工場	1000m	草 郎	"
"		504123	車載電動発電装置の	電動機保護装置	水戸工場		直 治	34. 12. 15
"		504124	蛍 光 灯 負 荷 用 車 車	城 電 動 発 電 装 置	水戸工場		召 三	"
		E041E0	rfa and the	Ti			生喜 之	
!! !!		504159 504098	自動操 ロータリバル	炉 装置	笠戸工場		景治	"
100		304036	ロータリバル	ブ操作装置	亀有工場		世三郎 軍 正	"
							登 雄	
"		504112	流体接手のオイル	シール検定装置	亀有工場	木 暮 倭	建三郎	"
**		E04100	TOTAL A SECURE FLORE		20 92 PS:	関	连 彦	
"		504129	手動ゆるめ装置付油圧自動 圧制水弁	カフレーキを有する油	亀有工場		車三郎	"
"		504147	N. D. T. C. C.	の制御装置	亀有工場	山	CAN-DO	"
"		504151	単索式バケット付クレーン	The state of the s	亀有工場	安河内	GV 4.4.5%	"
			開口操作装置	2 3 32	FE 11 -15 701	松原常	为 治	9
"		504155	コンベヤの中	間 駆 動 装 置	亀有工場	青木	勝	"
"		504160	游 4	N.H. 146	# L 111	盛武	賢	04 40
"		504160	流 体 変 差 圧 測	速 機	亀有工場	寺 本 仁		34. 12. 5
"		504113	分割面に油溝を設け	Vased Change	亀有工場川崎工場	富田忠藤間	平	"
"		504128	フライアッシ	ュ取出装置	川崎工場		十	",
					711 mg _L. 200	長 田	宝工 大	3.1
"		504149	自 動 伸	張 覆	川崎工場	松 本 源	原次 郎	"
"		504150	往復動堅形二気筒酸素匠	下縮機の水切り状器	川崎工場	佐 野 禾 松	n 105 std 11	11
10950		001100	L 区 到 立 // 一 X 问 版 杀 /	上州及りかり万を恒	川町上場	重 松 大 谷	久厳	"
"		504099	磁 気 式	酸素計	多賀工場	岩 淵 き		"
	8	504100	多 点 警	報 装 置	多賀工場	河 井 陽	<u>-</u>	"
"		504106	水位テレメーク	ター送量装置	多賀工場	小 沢 重	植樹	"
"			7 E 41 E		전 15,72 H	30 00 00 00 00	NG 71 50	
		504107	受量積算方式	テレメーター	多賀工場	小 沢 重 鈴 木 -	樹	"